

لایه‌نشانی اکسید قلع به روش LPCVD

علیرضا صدرابی^۱، محمد عروتی‌نیا^۲ و فرامرز حسین‌بابایی^۱

چکیده: در این مقاله یک سامانه ساده و کارا برای لایه‌نشانی اکسید قلع به روش LPCVD ارائه شده است. سامانه دارای ویژگیهای نوینی است که نشانش لایه‌های اکسید قلع را در یک محفظه بسته ممکن ساخته است. در طول فرآیند لایه‌نشانی، سامانه ورودی ندارد و کنترل پارامترهای فرآیند لایه نشانی به آسانی میسر است. لایه اکسید قلع از ترکیب بخارهای کلرید قلع و آب روی زیرلایه شیشه‌ای در دمای 250°C تشکیل می‌شود. منبع پیش ماده داخل محفظه واکنش تعییه شده است و تبخیر کنترل شده اجزاء واکنش در داخل محفظه لایه‌نشانی انجام می‌شود. تنظیم فشار محفظه در محدوده $10\text{-}50\text{ Torr}$ توسط مجموعه‌ای متشکل از یک پمپ روتاری و سه شیر خلاء، برای هر نرخ تبخیر ممکن گردیده است. کلیه پارامترهای مهم فرآیند شامل نرخ تبخیر، دمای زیرلایه، فشار محفظه، مدت لایه‌نشانی و نسبت اجزای پیش ماده قابل اندازه‌گیری و کنترل می‌باشند. میکروگرافهای SEM لایه‌های بدست آمده در محدوده ضخامت $400\text{-}500\text{ nm}$ مطالعه شده‌است. بدون اعمال آلایش، حداکثر ضربیت هدایت سطحی لایه‌های اکسید قلع حاصل، 10^{-3} mohm است. در هدایت سطحی بیش از 10^{-4} mohm ، هدایت سطحی نمونه‌های نشانده شده با خطای $\pm 10\%$ تغییر قابل تکرار بود.

واژه‌های کلیدی: اکسید قلع، لایه نازک، رسانای شفاف، LPCVD

گیری انواع گاز دارند [4-8]. ساخت حسگرهای گاز اکسید قلع به روش^۱ LPCVD توسط گروه پژوهشی ما قبل‌گزارش شده است [8]. ریزساختار و مشخصات الکتریکی لایه‌های نازک اکسید قلع، به روش لایه‌نشانی آنها بستگی دارد [5]. با توجه به مصارف وسیع لایه‌های اکسید قلع، روش‌های متنوعی برای لایه‌نشانی این ماده مورد استفاده قرار گرفته است. انواع روش‌های CVD [9-14]، کندوباش^۲ [15، 16]، sol-gel [17، 18]، و انواع روش‌های تبخیر در خلا [19، 20] از این جمله‌اند. روش LPCVD اولین بار برای لایه‌نشانی سیلیکان مورد استفاده قرار گرفت [21]. مزیتهای این روش، حصول کیفیت بالاتر و کنترل بهتر ساختار لایه‌های رشد داده شده، امکان لایه نشانی همزمان روی تعداد زیادی زیرلایه، نرخ رشد بالاتر و کاهش اثر آلودگیهای محیطی در فرآیند ساخت می‌باشد؛ اما به جرات می‌توان گفت که مزیت اصلی LPCVD اقتصادی است. در این روش نیاز به خلا قوی (فشار پایینتر از $10\text{-}5\text{ Torr}$) نیست و لایه نشانی در فشارهای قابل دسترسی با پمپهای ساده مکانیکی صورت می‌گیرد. نرخ زیاد رشد لایه و عدم نیاز به محیط‌های با کلاس تمیزی بالا نیز به وجاهت اقتصادی روش LPCVD، به ویژه در کشورهای در حال توسعه، می‌افزاید.

۱. مقدمه

اکسید قلع از خانواده نیمه‌هادیهای اکسید فلزی و ذاتا از نوع n است [1]. مصرف لایه‌های نازک آلایش شده این نیمه‌هادی در الکترونیک نوری به عنوان هادی شفاف بسیار وسیع است. از لایه‌های شفاف و رسانای اکسید قلع در صنایع خودروسازی به خورشیدی به عنوان اتصالهای شفاف و در صنایع خودروسازی به عنوان گرم‌کننده‌های نامرئی بر روی شیشه‌ها استفاده می‌شود [2، 3]. همچنین حسگرهای گاز ساخته شده بر اساس لایه‌های نازک و ضخیم اکسید قلع کاربردهای فراوانی در زمینه آشکارسازی و اندازه-

نسخه اصلی مقاله در تاریخ ۱۳۸۲/۴/۷ واصل، و پس از بازنگریهای لازم، در تاریخ ۱۳۸۴/۱۰/۱۴ به تصویب نهایی رسیده است.
سرپرستی داوری‌ها توسط دبیر تخصصی، دکتر حجت کاشانی صورت گرفته و مقاله توسط ایشان برای چاپ توصیه شده است.
علیرضا صدرابی، دانشجوی کارشناسی ارشد، دانشکده مهندسی برق، دانشگاه صنعتی خواجه نصیر الدین طوسی.
محمد عروتی‌نیا، دانشجوی دکتری، دانشکده مهندسی برق، دانشگاه صنعتی خواجه نصیر الدین طوسی.
دکتر فرامرز حسین‌بابایی، استاد دانشکده مهندسی برق، دانشگاه صنعتی خواجه نصیر الدین طوسی.
خواجه نصیر الدین طوسی، fhbabaei@shaw.ca

¹ Low Pressure Chemical Vapor Deposition
² Sputtering

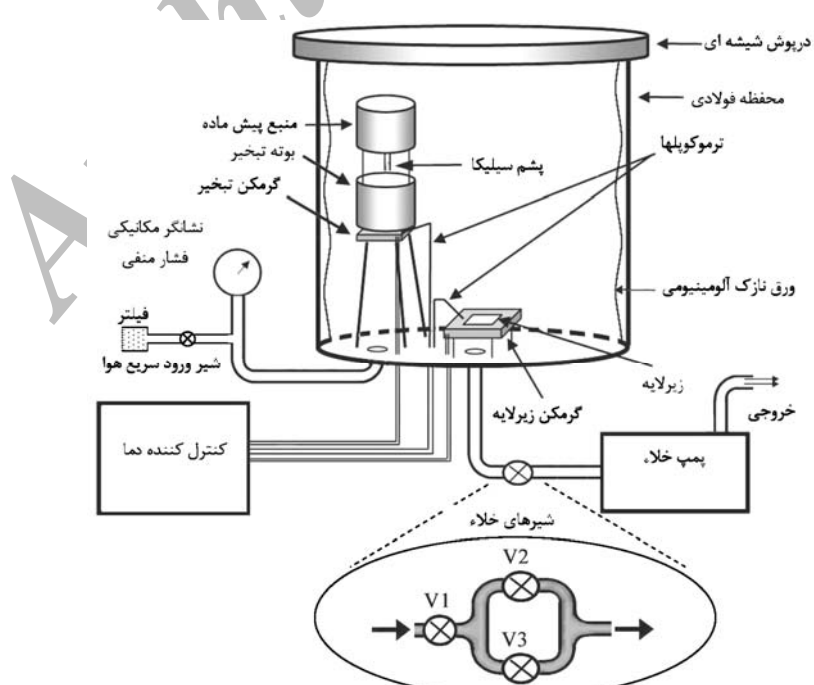
مجموعه شیر خلاء (شکل ۱) متشکل از دو شیر موازی V2 و V3 می‌باشد که به طور سری با شیر اصلی V1 قرار دارند. شیر V1 همواره در وضعیت کاملاً باز یا کاملاً بسته قرار دارد. این شیر در ابتدای فرایند لایه نشانی باز می‌شود. همزمان با V1، شیر V3 نیز کاملاً باز شده تخلیه محفظه با حداکثر جریان ممکن انجام می‌پذیرد. شیر V2 بر اساس تجربه قبلی تنظیم شده و به اندازه معینی نیمه باز است. پس از حصول فشار مطلوب و در شروع لایه نشانی، V3 بسته می‌شود. از این پس V2 در مسیر جریان گاز به خارج مقاومت کرده، بسته به میزان تولید بخار در داخل محفظه، باعث افزایش فشار محفظه می‌شود. فشار محفظه در حالت تعادل بستگی به نرخ تبخیر محلول پیش ماده و میزان باز بودن شیر V2 دارد. با تنظیم و ثابت نگاه داشتن V2، می‌توان فشار محفظه را با تعییر نرخ تبخیر محلول، در حد مطلوب کنترل نمود.

برای گرم کردن زیرلایه‌ها از یک گرم کن الکتریکی مسطح استفاده شد. این گرم کن با استقرار سیم‌هایی به قطر ۰/۵ mm از آلیاژ آلمینیم-کروم-آهن (A-1, Kanthal) روی ورقه‌های میکاساخته شد. این افزار می‌تواند زیرلایه‌ها را تا دمای 60°C گرم کند. زیرلایه‌ها با واسطه یک ورقه استیل، ساندویچ شده بین دو لایه میکا، روی گرم کننده قرار داده می‌شوند. این ساختار باعث یکنواختی دما روی زیرلایه‌ها می‌گردد. کل توان الکتریکی مصرف شده توسط المان حرارتی حداقل $W = 100$ بوده باعث ازدیاد بیش از اندازه دمای محفظه نمی‌گردید. برای اندازه گیری دمای سطح زیرلایه‌ها از ترموکوپل نوع K استفاده شد. نقطه اتصال ترموکوپل مستقیماً روی یکی از زیرلایه‌ها مستقر شده خروجی آن به یک میلی‌ولتمتر و یک دستگاه کنترل کننده دما متصل گردید.

در مقاله حاضر، جزئیات یک سامانه LPCVD طراحی شده با ویژگیهای نوین ساختاری و کاربردی گزارش می‌شود. ساختار این سامانه ساده بوده به طور کامل قابل ساخت در داخل کشور می‌باشد. این سامانه در عین سادگی و ارزانی، اجازه کنترل پارامترهای اصلی لایه نشانی را به کاربر ارائه می‌کند. نتایج لایه نشانی با این سامانه به همراه روش‌های به کار رفته برای کنترل پارامترهای مهم فرایند ارائه شده است. محدوده ضخامت و هدایت الکتریکی لایه‌های نشانده شده به همراه قابلیت تکرار پذیری فرایند لایه نشانی مورد بحث قرار گرفته است.

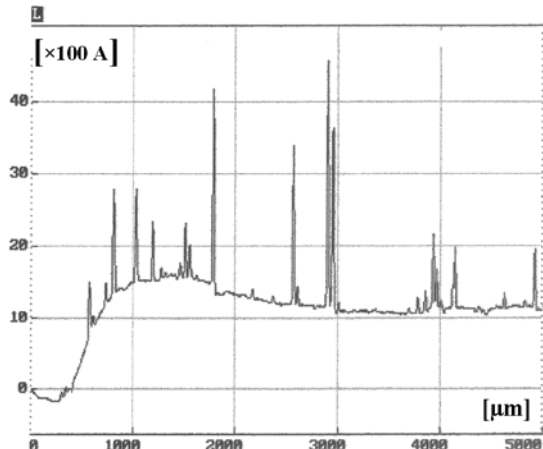
۲. طراحی سامانه و کار آزمایشگاهی

طرح واره سامانه لایه نشانی در شکل ۱ ارائه شده است. محفظه واکنش از یک استوانه فولادی به قطر داخلی 30 cm ، ارتفاع 40 cm و ضخامت 8 mm ساخته شده است. این استوانه بر روی یک حلقه لاستیکی از جنس رزین سیلیکان، روی یک سطح مسطح فولادی مستقر است. جدا کردن محفظه جهت شستشوی قسمتهای مختلف آن نیز به سادگی امکان‌پذیر است. در پوش محفظه از شیشه سودا-لایم با ضخامت 10 mm ساخته شده است. ضخامت انتخاب شده تضمین کننده تحمل اختلاف فشار دو طرف آن به هنگام اجرای فرایند می‌باشد. همه اتصالات به گریس سیلیکان آغشته می‌باشند. برای کاهش فشار محفظه، از یک پمپ روتاری (GEC, MACHINES BS.2406-G) استفاده شده که توسط یک مجموعه شیر خلاء قابل تنظیم، به محفظه متصل شده است. خلاء ایجاد شده توسط این پمپ تا 1 Torr مورد آزمایش قرار گرفت.



شکل ۱. طرح واره سامانه طراحی شده برای LPCVD اکسید قلع

نشانی در فشار ثابت صورت گرفته است. در فشار ثابت، نرخ تبخیر و جریان تخلیه با یکدیگر مساوی بوده پارامتر موثر در فرایند از ناحیه این دو عامل، همان فشار بخار پیش ماده در محفظه خواهد بود.



شکل ۲. نمونه ای از نتایج اندازه گیری ضخامت لایه های اکسید قلع. این منحنی از رویش سطحی در حوالی لبه لایه حاصل شده است. قله های تیز مربوط به ذرات غبار و ناهمواریهای سطحی است.

در اینجا نتیجه تغییر دو پارامتر مهم فرایند یعنی دمای زیرپایه و غلظت محلول پیش ماده مورد توجه قرار گرفته است. سایر عوامل در مقدار معینی ثبیت شده اند. عوامل ثابت در مقداری ثبیت گردیده اند که بر حسب تجربه بهترین نتایج لایه نشانی را باعث شده اند. تاثیر تغییر بقیه پارامترهای فرایند لایه نشانی بر ویژگیهای محصول، مورد مطالعه قرار گرفته است؛ جزئیات نتایج در جای دیگر گزارش شده [8] یا خواهد شد [5].

فشار محفظه واکنش، در طول کلیه فرایندهای لایه نشانی بر اساس LPCVD تجارت قبلی، در 30 Torr ثبیت می گردید. در سامانه تجارت به حصول فشار پایینتر در محفظه فرایند می باشد، به عنوان مثال لایه نشانی سیلیکون به این روش در فشار 10^{-5} Torr انجام می شود [21]. اما تجربه نشان داد که در سامانه حاضر، نرخ رشد لایه SnO_2 در فشار های کمتر از 20 Torr به میزان غیر قابل قبولی کاهش می یابد. به عنوان مثال در فشار 15 Torr ، پس از 10 دقیقه لایه نشانی با استفاده از محلول پیش ماده با غلظت 1 Mole ای با ضخامت کمتر از 30 nm بصورت غیر یکنواخت رشد می کند. از طرف دیگر با افزایش بیش از حد فشار محفظه، از کیفیت لایه ها و خصوصاً کیفیت اتصال لایه-زیرلایه کاسته می شود.

از محلول ترا کلرید قلع (Art #7810, MERCK) با خلوص 99.99% در آب مقطر به عنوان پیش ماده استفاده شد [3]. این محلول در داخل محفظه واکنش با نرخ کنترل شده بخار می شود. سامانه تبخیر قابل کنترل، مطابق شکل ۱، از یک مخزن محلول، متصل به لوله ای پر شده از پشم سیلیکای^۲ فشرده برای ایجاد جریان تدریجی و یک بوته تبخیر سریع تشکیل شده است. پیش ماده از مخزن بصورت قطره ای به داخل بوته تبخیر که توسط یک گرم کن مستقل تا دمای 200°C گرم شده است، چکیده به سرعت تبخیر مربوط بوده در صورت نیاز توسط کاربر پس از هر تجربه قابل تغییر است. تبخیر لحظه ای قطرات در بوته تبخیر همزمان و کامل اجزای آن است [3]. وجود پشم سیلیکا باعث می شود که خروج قطرات از مخزن محلول و سقوط آنها در بوته تبخیر دقایقی پس از ریختن محلول به داخل مخزن آغاز شود که در این زمان پمپ خلاء فشار محفظه را به حد مطلوب رسانده است. کلیه مراحل کار از طریق درپوش شیشه ای محفظه قابل مشاهده می باشد. هر فرایند لایه نشانی با اتمام محلول پیش ماده در مخزن پایان می پذیرد. در این هنگام گرمکن تبخیر و گرمکن زیرلایه خاموش شده شیر V1 بسته می شود.

ضریب هدایت لایه های نشانده شده، با استفاده از پرور چهار سر (VEECO FPP5000) اندازه گیری شد. نحوه اتصالات در این اندازه گیریها فشاری است. اهمی بودن اتصالات پروبهای دستگاه و لایه SnO_2 نیز بررسی و تایید گردید. ضخامت لایه های حاصل با استفاده از دستگاه Alpha-step 500 اندازه گیری شد. این دستگاه بر جستگیهای سطحی را با وضوح نامی 25 A° اندازه گیری می نماید. یک نمونه از منحنی های خروجی دستگاه اندازه گیری ضخامت به هنگام جارو کردن لبه یک لایه اکسید قلع روی زیرلایه شیشه ای در شکل ۲ ارائه شده است. از این دیاگرام ضخامت لایه اکسید قلع، 130 nm مستفاد می گردد.

۳. نتایج و بحث

در طول فرایند لایه نشانی، با واکنش بخار SnCl_4 و بخار آب در دمای سطح زیرلایه، SnO_2 آزاد می شود. معادله واکنش به شرح زیر است [14]:



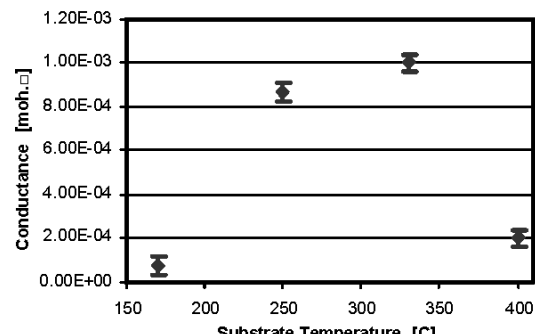
اکسید قلع حاصل روی زیرلایه نشسته اجزای فرار به همراه مواد ترکیب نشده پمپ به خارج هدایت می شود. متغیرهای اصلی فرایند عبارتند از غلظت محلول پیش ماده، فشار بخار پیش ماده در محفظه، دمای زیرلایه، جنس و کیفیت سطح زیرلایه و طول زمان نشانی. نرخ تبخیر پیش ماده و نرخ تخلیه گاز از محفظه جزو این متغیرها قید نشده اند زیرا که همه عملیات لایه

² Silica wool

حداکثر ضخامت لایه های نشانده شده 400 nm است. محدود کننده ضخامت لایه، مدت ممکن برای لایه نشانی است که توسط حجم مخزن پیش ماده تعیین می گردد. برای ایجاد لایه های با ضخامت بیشتر می باید حجم پیش ماده در مخزن داخل محفظه و زمان فرایند لایه نشانی را افزایش داد که خود مستلزم تغییر ساختار تبخیر کننده و حسب آن، تغییر طرح سامانه از نظر ابعاد است. نشانش لایه یکنواخت با ضخامت کمتر از 50 nm نیز در سامانه موجود ممکن نگردید، چرا که در لایه های شکل گرفته با ضخامت کمتر از 50 nm ، هدایت سطحی به دلیل عدم یکنواختی لایه و جدا بودن جزایری از نیمه هادی روی زیرلایه، عملای قابل اندازه گیری نبوده و پژوهیهای ساختاری لایه ایجاد شده تکرار پذیر نبود.

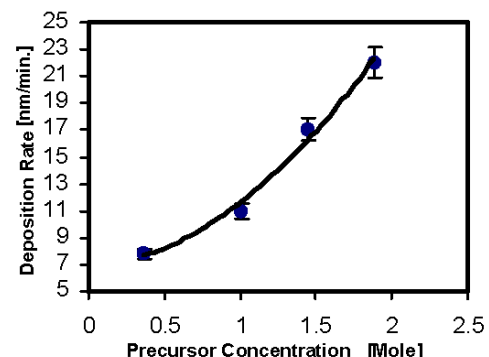
نرخ رشد لایه اکسید قلع با اندازه گیری ضخامت لایه ها محاسبه شد. روی زیرلایه شیشه ای در دمای 250°C ، با استفاده از پیش ماده ای با غلظت ۱ مولکول گرم کلرید قلع بر لیتر و در فشار ثابت 30 Torr ، نرخ رشدی معادل $110\text{ A}^\circ/\text{min}$ بدست آمد. مشخص گردید که با افزایش غلظت محلول پیش ماده، نرخ رشد افزایش می یابد. بیشترین نرخ رشد لایه اکسید قلع را بر حسب تغییر غلظت محلول پیش ماده نشان می دهد. با توجه به اینکه فراوانی مولکولهای SnCl_4 در بخار مجاور زیرلایه به طور خطی با غلظت محلول پیش ماده افزایش می یابد، انتظار آن می رود که نرخ رشد نیز با همین روند افزایش یابد. لیکن در نتایج ارائه شده در شکل ۴ وابستگی بیش از درجه ۱ مشهود است. این روند غیر خطی را می توان به ساز و کار هسته بندی^۱ اکسید قلع روی زیرلایه و وابستگی آن به فراوانی مولکول SnCl_4 در جوار سطح رشد نسبت داد. وابستگی اخیر، عملای وابستگی نرخ رشد به فراوانی مولکولهای SnCl_4 را مضاعف می سازد. مطالعه بیشتر، خصوصاً روی انواع دیگر زیر لایه، موضوع را روشنتر خواهد نمود.

میکروگرافهای SEM نشان داد که لایه های رشد داده شده در محدوده دمایی $350^\circ\text{C}-250^\circ\text{C}$ ، از یکنواختی بیشتری برخوردارند. دو نمونه از میکروگرافهای لایه های رشد داده شده در شکل ۵ ارائه شده است. کلیه شرایط لایه نشانی به جز دما در مورد این دو نمونه یکسان بوده است. لایه های رشد یافته در دمای بالاتر دارای دانه های درشت تری بوده از یکنواختی سطحی کمتری برخوردارند. لایه های بدست آمده روی زیرلایه های سردتر از 200°C با وجود یکنواختی، انسجام و اتصال کافی به زیرلایه را نداشتند. با مطالعه وابستگی دو ویژگی اتصال به زیرلایه و یکنواختی، بازه دمایی بهینه $350^\circ\text{C}-250^\circ\text{C}$ مشخص گردید. نمونه های رشد داده شده در این بازه دمایی، روی زیرلایه های شیشه سودا-لایم، از پوشش یکنواخت و اتصال مناسب به زیرلایه برخوردار بودند.



شکل ۳. تغییر هدایت الکتریکی سطحی لایه های SnO_2 بر حسب تغییر دمای زیرلایه در فرایند لایه نشانی. غلظت محلول پیش ماده برابر ۱ مولکول گرم بر لیتر، فشار محفظه 30 Torr و زمان لایه نشانی ۱۰ دقیقه

عدد 30 Torr فشار بهینه ای بین این دو غاییت نامطلوب است که به طور تجربی حاصل شده است. لایه نشانی در دماهای مختلف زیرلایه نیز بررسی گردید. با تغییر دما در محدوده $150^\circ\text{C}-400^\circ\text{C}$ ، لایه های اکسید قلع با ضریب هدایت سطحی در بازه $10^{-3}-10^{-4}\text{ moh.}^{-1}$ حاصل شد. برای حصول اطمینان از عملکرد سامانه و تکرار پذیری فرایند، با ثابت نگاه داشتن پارامترهای لایه نشانی، هر آزمایش چندین بار تکرار شد. نهایتاً تکرار پذیری در تعیین ویژگی اصلی لایه های نشانده شده (ضریب هدایت سطحی) با قبول تغییراتی برابر $\pm 10\%$ حاصل شد. تکرار پذیری در ضخامت های بیش از 100 nm حاصل می گردد؛ با کاهش ضخامت و بالارفتن مقاومت سطحی، بازه تغییر ضریب مقاومت سطحی نیز در محصول وسعت یافته تکرار پذیری کاهش می یابد. در ضخامت های کمتر از 50 nm ویژگیهای هدایتی عملای تکرار پذیر نبود. شکل ۳ تغییرات هدایت سطحی لایه های حاصل را نسبت به دمای زیرلایه نشان می دهد. در این سری آزمایش زمان لایه نشانی ثابت و برابر 10 دقیقه بوده است. مشخص گردید که بیشترین هدایت الکتریکی در لایه های نشانده شده در محدوده $250^\circ\text{C}-350^\circ\text{C}$ حادث می شود.



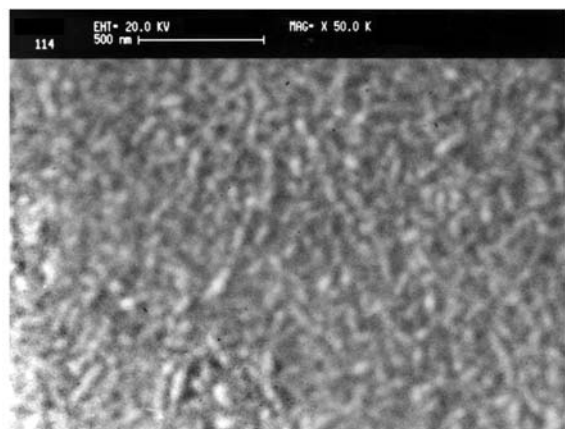
شکل ۴. منحنی تغییر نرخ رشد لایه اکسید قلع بر حسب تغییر غلظت پیش ماده. فشار محفظه 30 Torr ، دمای زیرلایه 250°C و مدت لایه نشانی ۱۰ دقیقه است.

¹ Nucleation

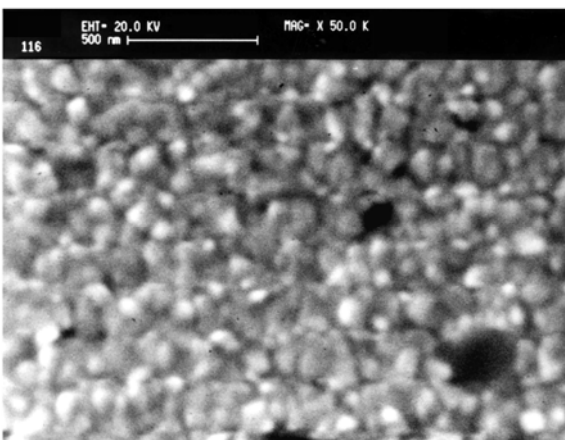
اندازه‌گیری شده $230 \text{ A}/\text{min}$ است. نرخ رشد با تغییر غلظت کلرید قلع در محلول پیش ماده قابل تغییر است. حداکثر هدایت الکتریکی سطحی در نمونه‌های نشانده شده در دمای زیرپایه $250\text{--}350^\circ\text{C}$ مشاهده شد. این بازه دمایی از نقاط نظر دیگر نیز به عنوان بازه دمایی بهینه تعیین گردید. مطالعه ریز ساختار فیلمها نشان داد که اندازه دانه‌های SnO_2 با افزایش دمای زیرلایه افزایش پیدا می‌کند. در دماهای بالاتر از بازه دمایی بهینه، اندازه بزرگ‌تر دانه‌ها باعث کاهش یکنواختی لایه‌ها می‌شود. در شرایط گزارش شده، نتایج لایه نشانی با قبول $\pm 10\%$ تغییر در هدایت سطحی لایه‌ها قابل تکرار است.

مراجع

- [1] Zhang G. and Lio M., "Effect of particle size and dopant on properties of SnO_2 -based gas sensors", Sensors and Actuators B, Vol. 69, 2000, pp. 144-152.
- [2] Tamura S., Ishida T., Magara H., Mihara T., Tabata O., Tatsuta T., "Transparent conductive tin oxide films by photochemical vapour deposition", Thin Solid Films 343-344, 1999, pp.142-144.
- [3] McCurdy R.J., "Successful implementation methods of atmospheric CVD on a glass manufacturing line", Thin Solid Films 351, 1999, pp. 66-72.
- [4] Hossein-Babaei F. and Orvatinia M., "Gas diagnosis based on selective diffusion retardation in air filled capillaries", Sensors and Actuators B, Vol. 96, 2003, pp. 298-303.
- [5] عروتی نیا محمد و حسین بابایی فرامرز، "عوامل مؤثر در تعیین پاسخ گذرای حسگرهای مقاومتی گاز"، مجله فنی و مهندسی مدرس، پذیرفته شده برای چاپ (۱۳۸۴).
- [6] Hossein-Babaei F. and Orvatinia M., "A novel approach to hydrogen sensing", IEEE Sensors Journal, Vol. 4 , 2004, No. 6, pp. 802-806.
- [7] Hossein-Babaei F. and Orvatinia M., "Analysis of thickness dependence of the sensitivity in thin film resistive gas sensors", Sensors and Actuators B, Vol. 89, 2003, pp. 256-261.
- [8] Hossein-Babaei F. and Orvatinia M., "Thickness dependence of sensitivity in thin film tin oxide gas sensors deposited by vapor pyrolysis", Int. J. Eng., Vol. 16, 2003, No. 1, pp. 33-40.
- [9] Hellegouarch F., Areff-Khonsari F., Planade R., Amouroux J., "PECVD prepared SnO_2 thin films for ethanol sensors", Sensors and Actuators B, Vol. 73, 2001, pp. 27-34.



الف



ب

شکل ۵. میکرو گراف لایه نازک اکسید قلع رشد داده شده روی زیرلایه شیشه‌ی سودا-لایم. فشار محفظه 20 Torr ، غلظت محلول پیش ماده $2 \text{ مولکول گرم بر لیتر}$ ، زمان لایه نشانی 10 دقیقه و دمای زیرلایه به هنگام لایه نشانی 250°C (الف) و 400°C (ب) بوده است.

۴. نتیجه گیری

سامانه‌ای ساده، اقتصادی و کارا برای لایه‌های نازک اکسید قلع ارائه شد. این سامانه، برای اولین بار، نشانش LPCVD لایه‌های SnO_2 را در یک محفظه بسته میسر نمود. این سامانه از هیدرولیز SnCl_4 در جوار زیرلایه داغ برای رشد لایه اکسید قلع سود می‌جوید. در طول فرایند لایه نشانی، سامانه ورودی ندارد و به این دلیل استفاده از این سامانه به طور مشخص از تاثیر عوامل مخرب محیطی، همچون آلودگی‌ها و ذرات غبار، می‌کاهد. ساختار این سامانه به‌گونه‌ای است که کنترل پارامترهای اصلی فرایند لایه نشانی شامل نرخ تبخیر پیش ماده، فشار محفظه واکنش، دمای زیرلایه و طول زمان لایه نشانی را به سادگی میسر می‌سازد. کارایی سامانه با نشاندن لایه‌های نازک یکنواخت در بازه ضخامت $50\text{--}400 \text{ nm}$ نمایش داده شد. حداکثر نرخ رشد لایه اکسید قلع

- [16] Ruske M., Brauer G., Pistner J., Pfafflin U., Szczyrbowski J., "Properties of SnO_2 films prepared by DC and MF reactive sputtering", *Thin Solid Films*, 1999, pp.146-150.
- [17] Park Sung-Soon, Mackenzie J. D., "Sol-gel-derived tin oxide thin films", *Thin Solid Films* 258, 1995, pp.268-273.
- [18] Cobianu C., Savanu C., Siciliano P., Capone S., Utriainen M., Niinisto L., " SnO_2 sol-gel derived thin films for integrated gas sensors", *Sensors and Actuators B*, Vol. 77, 2001, pp. 496-502.
- [19] El Khakani M. A., Dolbec R., Serventi A. M., Horrillo M. C., Trudeau M., Saint-jacques R. G., Rickerby D. C., Sayago I., "Pulsed laser deposition of nanostructured tin oxide films for gas sensing application", *Sensors and Actuators B*, Vol. 77, 2001, pp.383-388.
- [20] Madhusudhana Reddy M. H., Chandorkar A. N., "E-beam deposited SnO_2 , Pt-SnO_2 and Pd-SnO_2 thin films for LPG detection", *Thin Solid Films* 349, 1999, pp.260-265.
- [21] Ohring M., *The Material Science of Thin Films*, Academic Press, 1992.
- [10] Suh S., Zhang Z., Chu Wei-Kan, Hoffman D. M., "Atmospheric-pressure chemical vapor deposition of fluorine-doped tin oxide thin films", *Thin Solid Films* 345, 1999, pp.240-243.
- [11] Proscia J. and Gordon R. G., "Properties of fluorine doped tin oxide films produced by atmospheric pressure chemical vapor deposition from tetramethyltin, bromotrifluoromethane and oxygen", *Thin Solid Films* 214, 1992, pp. 175-187.
- [12] Zhao S., Wei P., Chen S., "Enhancement of trimethylamine sensitivity of MOCVD- SnO_2 thin film gas sensor by thorium", *Sensors and Actuators B*, Vol. 62, 2000, pp. 117-120.
- [13] Maruyama T., Morishita T., "Tin dioxide thin films prepared by photochemical vapour deposition from tin(II) acetate", *Thin Solid Films* 251,1994, pp. 19-22.
- [14] Li Ch., Hua B., "Preparation of nanocrystalline SnO_2 thin film coated Al_2O_3 ultrafine particles by fluidized chemical vapor deposition", *Thin Solid Films* 310, 1994, pp. 238 – 243.
- [15] Choe Y. S., Chung J. H., Kim D. S., Baik H. K., "Ion beam sputtering of SnO_2 with low energy ion oxygen ion beams", *Thin Solid Films* 341, 1999, pp.230-233.